

مدل عددی آب کم عمق برای شبیه سازی بالاروی امواج بلند

علی مهدوی (دانشجوی دکتری)

ناصر طالب بیدختی (استاد)
دانشکده ی مهندسی، دانشگاه شیراز

در این مطالعه یک مدل حجم محدود بر مبنای معادلات غیرخطی آب کم عمق برای بررسی انتشار و بالاروی امواج شکننده و غیرشکننده ی بلند توسعه یافته است. مدل حاضر از یک الگوی صریح مرکزی به همراه الگوی یکنوای بالادست برای قوانین پایستار (MUSCL) استفاده می کند. عبارت چشمه که در برگزیده ی اثرات توپوگرافی بستر است با روش گرادیان سطح (SGM) وارد محاسبات می شود. همچنین برای مکان یابی خط ساحل، که مرز متحرک مسئله به شمار می رود، یک الگوریتم ویژه تعریف می شود. الگوی حاصله، دارای دقتی از مرتبه ی دو در مکان و زمان بوده و قادر است ناپیوستگی های به وجود آمده در عمق جریان بر اثر شکست موج را به طور مؤثر تسخیر کند. تمامی محاسبات توسط برنامه یی که به همین منظور در محیط فرترن ۹۰ نوشته شده، صورت می پذیرد. نیمرخ های شبیه سازی شده ی سطح آزاد و تاریخچه زمانی جابه جایی سطح آزاد، توافق رضایت بخشی با جواب تحلیلی موجود و نیز داده های آزمایشگاهی نشان می دهند.

واژگان کلیدی: معادلات غیرخطی آب کم عمق، بالاروی موج منفرد، روش حجم محدود، الگوی عددی مرکزی مرتبه اول (FORCE)، تسخیر شوک، الگوی موزون.

۱. مقدمه

توانایی پیش بینی بالاروی امواج بلند در کاستن از خطرات ساحلی امواج سونامی نقشی حیاتی ایفا می کند. به منظور شبیه سازی خصلت های اساسی امواج مهیب سونامی، معمولاً امواج منفرد یا ترکیبی از امواج منفرد مثبت و منفی مورد استفاده قرار می گیرند. تاکنون معادلات غیرخطی آب کم عمق کاربرد گسترده یی در توصیف تکامل و بالاروی امواج منفرد روی سواحل شیب دار داشته اند. در واقع مدل های تحلیلی بالاروی تنها قادر به شبیه سازی حرکت امواج غیرشکننده روی بسترهایی با توپوگرافی های ساده هستند. محققینی نظیر کریر و گرینسپن (۱۹۵۸)، تاک و هوانگ (۱۹۷۲) و سینولاکیس (۱۹۸۶) با اعمال نگاهت بر معادلات غیر خطی آب کم عمق، دستگاهی از معادلات خطی به دست آوردند که به روش تحلیلی قابل حل بود.^[۱-۳] به دلیل مشکلات ریاضی ناشی از پیچیدگی های حرکت سیال، ارائه ی رهیافتی کاملاً نظری در مورد شکست موج غیرممکن است. بنابراین حل عددی این مسئله همواره مورد توجه بسیاری از محققین قرار گرفته است. از آنجا که در مدل سازی عددی بالاروی موج، برخی از گره های محاسباتی قبل از رسیدن موج به آنها خشک هستند، تعیین طول ناحیه ی حل و به بیان دیگر، مکان یابی مرز متحرک خشک - تر در هر گام زمانی مشکلی عمده محسوب می شود.

برای حل عددی معادلات غیرخطی آب کم عمق، چهار روش اساسی وجود دارد: ۱. روش مشخصه ها؛ ۲. روش تفاضلات محدود؛ ۳. روش اجزای محدود؛ ۴. روش حجم محدود. روش مشخصه ها دارای این مزیت است که خطوط مشخصه معنای فیزیکی روشنی دارند. این روش برای اولین بار در سال ۱۹۷۹ به منظور بررسی بالاروی امواج به کار گرفته شد.^[۴] پس از آن، در سال ۱۹۹۵، محققین به کمک روش تفاضلات محدود به حل شکل مشخصاتی معادلات غیرخطی آب کم عمق پرداختند و از آن برای مدل سازی انتشار و بالاروی امواج منفرد استفاده کردند. در مدل آنها خط متحرک ساحلی با افزودن و کم کردن نقاط محاسباتی مطابق با موقعیت خط ساحلی شبیه سازی شد.^[۵] مدل عددی ارائه شده در سال ۱۹۹۱، بارزترین نمونه ی تحلیل اجزای محدود معادلات آب کم عمق به شمار می رود. در این مدل، شکست موج به وسیله ی یک عبارت لزجت مصنوعی در معادله ی بقای اندازه حرکت وارد شد. تعیین این عبارت مستلزم واسنجی مدل با داده های آزمایشگاهی بود.^[۶]

در سال ۲۰۰۶ با استفاده از حل کننده ی دقیق ریمان^۱ یک مدل دوبعدی حجم محدود برای معادلات آب کم عمق ارائه شد و به کمک آن بالاروی موج منفرد شکننده مورد بررسی قرار گرفت.^[۷] مدل های دو بعدی ارائه شده در سال های ۲۰۰۱ و ۲۰۰۷ که در توسعه ی آنها از حل کننده ی تقریبی ریمان از نوع شار متوسط وزن دار (WAF)^۲ استفاده شده، به خوبی قادر به شبیه سازی ویژگی های مختلف

تاریخ: دریافت ۱۳۸۷/۱۲/۱۰، اصلاحیه ۱۳۸۸/۱۰/۱۶، پذیرش ۱۳۸۹/۹/۲.

امواج بلند طی فرایند انتشار و بالاروی هستند. این دو مدل از روش تفکیک جهت مند^۲، به منظور تبدیل معادلات دوبعدی آب کم عمق به دو معادله ی یک بعدی بهره برده اند.^[۹،۸]

رخداد پدیده ی شکست موج که با شکل گیری جبهه ی قائم موج همراه است از نقطه نظر شبیه سازی عددی با مشکلاتی همراه است. یک مدل محاسباتی فقط هنگامی برای تحلیل امواج شکننده مناسب است که به خوبی قادر به شبیه سازی شوک ناشی از شکست موج بدون ایجاد نوسان عددی باشد. بیشتر الگوهای عددی دارای خاصیت تسخیر شوک^۴، که تاکنون برای حل معادلات آب کم عمق در حالت پایستار پیشنهاد شده اند، برای حالت همگن معادلات طراحی شده اند. نمونه های زیادی از این الگوها در کتاب تورو (۲۰۰۱)^[۱۰] گزارش شده است. باید توجه داشت که کاربرد معادلات آب کم عمق در حالت همگن تنها به مواردی نظیر انتشار موج شوک، موج آشترک^۵ و موج شکست سد بر روی بستر افقی محدود است. یک روش مستقیم و در عین حال ساده برای حل معادلات غیرهمگن تفکیک آنها به دستگاهی از معادلات شامل یک معادله ی همگن و یک یا چند معادله ی دیفرانسیل معمولی است.^[۱۱] این روش در مورد جریان های دائمی یا شبه دائمی نتایج نسبتاً ضعیفی به دست می دهد. تجربه ی نگارندگان نشان داد که با استفاده از این روش تفکیک در شبیه سازی یک مخزن آب ساکن با بستر ناهموار، یک سری اغتشاشات غیر فیزیکی در سطح آزاد به وجود می آید که با گذشت زمان بر روی سطح آب منتشر می شوند. چنین نقیصه یی به عدم ارضای ویژگی موسوم به خاصیت C نسبت داده می شود. این خاصیت، توازن عبارت چشمه و گرادیان شار عددی را در مسائل جریان دائم تضمین می کند. در سال ۲۰۰۸، محققین با بحث پیرامون اهمیت ارضای خاصیت C توسط مدل محاسباتی بالاروی موج بلند بیان داشتند که عدم توجه به خاصیت مذکور در توسعه ی یک مدل عددی ممکن است در برخی از موارد به ایجاد مجموعه یی از امواج غیر فیزیکی و صرفاً عددی منجر شود که دارای ارتفاعی به بزرگای ارتفاع موج اصلی مورد مطالعه اند.^[۱۱] به عنوان نمونه، مدل بالاروی ارائه شده در سال ۲۰۰۰، که از روش تفکیک برای عبارت چشمه استفاده کرده است، موزون^۶ نیست.^[۱۲]

در سال ۱۹۹۴ تمهیدی موثر برای گنجاندن عبارت چشمه در الگوی عددی رو^۷ ابداع شد.^[۱۳] پس از آن در سال ۱۹۹۹ با بهینه سازی این روش، از آن برای حل مسائل مختلف شامل جریان های دائمی استفاده شد.^[۱۴] با این حال روش این محققین بسیار پیچیده است.

این مطالعه به توسعه ی یک الگوی عددی حجم محدود برای معادلات غیرخطی آب کم عمق می پردازد که در آن عبارت چشمه با روش گرادیان سطح (SGM)^۸ در محاسبات گنجانیده شده و از الگوی همیشه ی مرتبه سه رانگ-کوتا برای انتگرال گیری زمانی معادلات نیمه گسسته استفاده شده است. الگوی ارائه شده بدون نیاز به هیچ گونه عبارت اضافی -- نظیر لزجت مصنوعی که تعیین آن معمولاً با سعی و خطا همراه است -- دارای قابلیت تسخیر شوک است و می توان نشان داد که خاصیت C را ارضای می کند و به بیان دیگر، موزون است. همچنین این مدل بدون هرگونه نیاز به واسنجی با داده های آزمایشگاهی، قادر به پیش بینی انتشار امواج بلند روی سطح شیب دار است.

۲. معادلات حاکم

همان طور که پیش تر اشاره شد، تاکنون محققین بسیاری برای بررسی فرایند انتشار و بالاروی امواج بلند از معادلات غیرخطی آب کم عمق استفاده کرده اند. شکل پایستار^۹ معادلات غیرخطی آب کم عمق، که در واقع بیان گر قوانین بقای جرم و اندازه حرکت

هستند، عبارت است از:

$$\frac{\partial U}{\partial t} + \frac{\partial F(U)}{\partial x} = S(U) \quad (1)$$

که در آن U بردار متغیرهای پایستار، $F(U)$ بردار شار عددی و $S(U)$ عبارت چشمه نامیده می شوند و چنین تعریف می شوند:

$$U = \begin{bmatrix} h \\ hu \end{bmatrix}, \quad F(U) = \begin{bmatrix} hu \\ hu^2 + \frac{1}{2}gh^3 \end{bmatrix}, \quad (2)$$

$$S(U) = \begin{bmatrix} 0 \\ -g \frac{dB}{dx} h \end{bmatrix}.$$

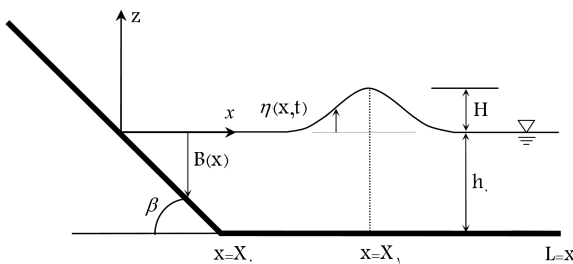
در تعریف فوق g شتاب گرانش، x راستای انتشار موج، t زمان، $h = h(x, t)$ عمق آب روی بستر، $B = B(x)$ تراز بستر و $u = u(x, t)$ سرعت افقی متوسط گیری شده در عمق در راستای انتشار موج هستند (شکل ۱). معادله ی ۱ در حالت نیمه گسسته چنین نوشته می شود:

$$\frac{\partial U}{\partial t} = -\frac{F_{i+(1/2)} - F_{i-(1/2)}}{\Delta x} + S_i \quad (3)$$

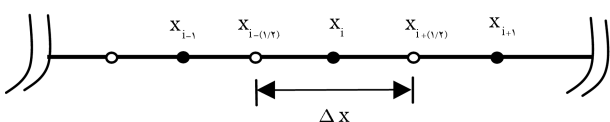
که در آن Δx اندازه ی سلول محاسباتی است و $F_{i+(1/2)}$ و $F_{i-(1/2)}$ نیز که به شارهای بین سلولی موسوم اند به ترتیب به شار عددی در نقاط $x = x_{i+(1/2)}$ و $x = x_{i-(1/2)}$ اشاره می کنند (شکل ۲). در ادامه، روش مورد استفاده برای تخمین شار عددی به تفصیل بیان می شود.

۳. الگوی یکنوای بالادست برای قوانین پایستار (MUSCL)

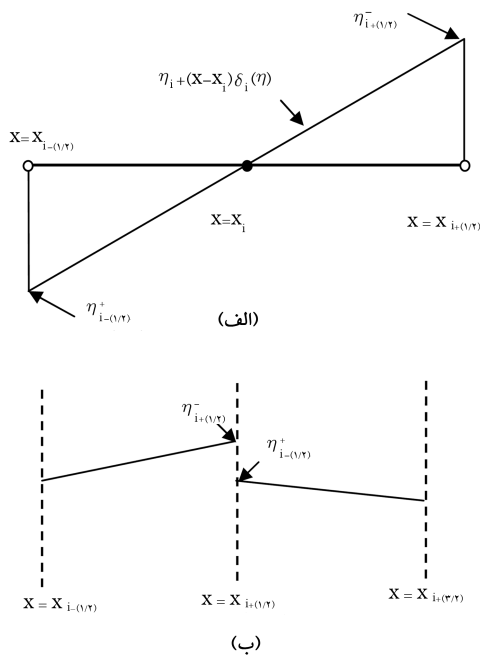
در روش حجم محدود در ابتدای هر گام زمانی، فقط داده های عمق (h) و اندازه حرکت جریان (hu) در مرکز هر سلول محاسباتی موجود است. این در حالی است که مطابق رابطه ی ۳، پیشبرد حل مستلزم تعیین متغیرهای جریان در مرز بین سلول هاست. در این مطالعه از الگوی یکنوای بالادست برای قوانین پایستار



شکل ۱. تعریف پارامترهای مربوط به انتشار و بالاروی یک موج منفرد (شکل بدون مقیاس است).



شکل ۲. گسسته سازی مکانی دامنه حل به کمک سلول هایی با اندازه ی Δx . نقاط توخالی مرزهای بین سلولی و نقاط توپر مرکز سلول ها را نشان می دهند.



شکل ۳. بازساخت تراز سطح آزاد بر مبنای روش گرادیان سطح (SGM).

سلول به دست نمی‌آید. به بیان دیگر، خطای ناشی از روش (DGM) به محاسبه‌ی نادرست شار عددی می‌انجامد و جوابی نادرست برای مسئله به دست می‌آید. برای رفع این نقیصه، در این تحقیق از روش پیشنهادی محققین در سال ۲۰۰۹، که به روش گرادیان سطح (SGM) موسوم است، استفاده می‌شود.^[۱۵] براساس این روش به جای متغیر عمق جریان، تراز سطح آزاد در مرکز سلول به عنوان مبنای بازساخت داده به کار می‌رود (شکل ۳ الف). تراز سطح آزاد را می‌توان چنین تعریف کرد:

$$\eta(x, t) = h(x, t) + B(x) \quad (9)$$

با پیروی از روندی مشابه روند مورد استفاده در اندازه حرکت، ابتدا مقادیر $\eta_{i+(1/2)}^+$ و $\eta_{i+(1/2)}^-$ به دست می‌آیند (شکل ۳ ب) و سپس به کمک رابطه‌ی ۱۰ مقادیر عمق جریان در مرز سلول محاسبه می‌شود.

$$\begin{aligned} h_{i+(1/2)}^- &= \eta_{i+(1/2)}^- - B_{i+(1/2)} \\ h_{i+(1/2)}^+ &= \eta_{i+(1/2)}^+ - B_{i+(1/2)} \end{aligned} \quad (10)$$

که در آن $B_{i+(1/2)}$ تراز بستر در مرز $x = x_{i+(1/2)}$ است. روش یادشده سبب کاهش چشمگیر خطای ناشی از برون‌یابی عمق در مرز سلول می‌شود. باید توجه داشت که در غیاب عبارت چشمه در معادله‌ی ۳، جواب‌های حاصل از SGM و DGM یکسان خواهد بود.

۵. تخمین شار عددی در مرز سلول به کمک الگوی عددی (FORCE)

هدف از تعیین متغیرهای عمق و اندازه حرکت در مرز هر سلول، محاسبه‌ی شار عددی بین سلولی است. برای این منظور تاکنون روش‌های گوناگونی پیشنهاد شده است. در این مطالعه به منظور تخمین شار عددی از الگوی عددی مرکزی مرتبه اول

(MUSCL)^[۱۶]، که اولین بار توسط ون لیر پیشنهاد شد، استفاده می‌شود.^[۱۶] براساس این روش در مرحله‌ی موسوم به بازساخت داده‌ها^[۱۷]، مقادیر متغیرها در مرز سلول با برون‌یابی مقادیر مرکز سلول به دست می‌آیند. اعمال این برون‌یابی به‌گونه‌ی صورت می‌پذیرد که خصلت نوسانی جواب کنترل شود و ناپیوستگی‌های جریان بدون ایجاد استهلاك عددی تسخیر شود. برای بازساخت داده‌ها از یک محدودکننده‌ی غیرخطی شیب^[۱۸] استفاده می‌شود تا استهلاك عددی مناسب به داده‌های بازسازی شده در مرز سلول افزوده شود. با استفاده از این روش، ضمن حفظ یکنوایی حل، از ایجاد نوسان‌های شدید و غیر فیزیکی در نزدیکی نواحی با گرادیان زیاد جلوگیری می‌شود. بر همین اساس برای اندازه حرکت در سلول i ام خواهیم داشت:

$$\begin{aligned} (hu)_{i+(1/2)}^- &= (hu)_i + \frac{1}{\tau} \delta_i(hu), \\ (hu)_{i+(1/2)}^+ &= (hu)_{i+1} - \frac{1}{\tau} \delta_{i+1}(hu). \end{aligned} \quad (4)$$

از این پس بالانویس‌های + و - به ترتیب نشان‌دهنده‌ی مقادیر متغیرهای بازسازی شده در سمت راست و سمت چپ مرز مورد نظر خواهند بود. در رابطه‌ی ۴ گرادیان اندازه‌ی حرکت طبق رابطه‌ی ۵ داده می‌شود.

$$\delta_i(hu) = \Psi_i \times \left[\frac{\Delta_{i+(1/2)}(hu) + \Delta_{i-(1/2)}(hu)}{2} \right] \quad (5)$$

که در آن $\Delta_{i+(1/2)}(hu)$ و $\Delta_{i-(1/2)}(hu)$ پرش در اندازه حرکت در دو سلول مجاور بوده و در قالب رابطه‌ی ۶ تعریف می‌شوند.

$$\begin{aligned} \Delta_{i+(1/2)}(hu) &= (hu)_{i+1} - (hu)_i, \\ \Delta_{i-(1/2)}(hu) &= (hu)_i - (hu)_{i-1}. \end{aligned} \quad (6)$$

در رابطه‌ی ۵، Ψ محدودکننده‌ی غیرخطی شیب Superbee است.^[۱۹]

$$\Psi_i = \begin{cases} 0 & r_i \leq 0, \\ 2r_i & 0 \leq r_i \leq \frac{1}{2}, \\ 1 & \frac{1}{2} \leq r_i \leq 1, \\ \min(r_i, \frac{1}{1+r_i}, 2) & \text{otherwise.} \end{cases} \quad (7)$$

که در آن r_i نسبت اندازه حرکت در دو سلول متوالی است و طبق رابطه‌ی ۸ برابر است با:

$$r_i = \frac{\Delta_{i-(1/2)}(hu)}{\Delta_{i+(1/2)}(hu)} \quad (8)$$

۴. روش گرادیان سطح (SGM)

بازساخت عمق جریان با روشی مشابه آنچه در قسمت قبل برای اندازه حرکت به کار رفت، روش گرادیان عمق (DGM)^[۱۳] نامیده می‌شود. این روش فقط برای شکل همگن معادلات (یعنی $S(U) = 0$) مناسب است. به هر حال در مدل‌سازی بالاروی امواج منفرد باید اثرات شیب بستر در معادلات لحاظ شود، زیرا عمق آب در مرز هر سلول محاسبه‌ی تحت تأثیر توپوگرافی بستر و همچنین تغییرات زمانی سطح آزاد جریان قرار دارد. در چنین حالتی، حتی اگر از روشی با مرتبه‌ی بالای دقت برای بازساخت عمق آب در مرز سلول استفاده شود، تغییرات واقعی عمق جریان در مرز

آنجا که الگوی رانگ - کوتا الگویی صریح است، پایداری محاسبات با اعمال معیار کورانت - فردریش - لوی (CFL) بر روی مقدار گام زمانی تأمین می شود:

$$\Delta t = C_n \min_i \frac{\Delta x}{|u_i| + \sqrt{gh_i}}, \quad 0 < C_n \leq 1 \quad (16)$$

که در آن C_n عدد کورانت است. رابطه ی ۱۶ بیان می کند که در یک گام زمانی موج نباید مسافتی بیش از طول یک گام مکانی را طی کند.

۷. شرایط مرزی لازم برای شبیه سازی بالاروی موج منفرد

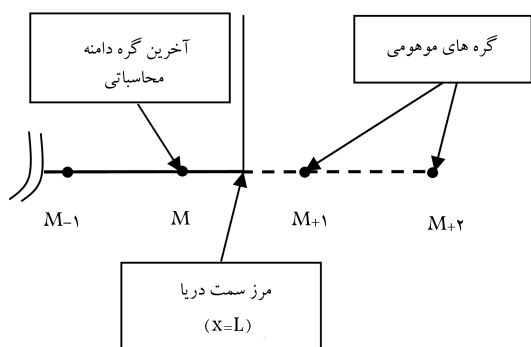
برای حل صحیح معادلات غیرخطی آب کم عمق، ضرورت دارد شرایط مرزی به درستی اعمال شوند. در بررسی فرایند بالاروی موج بر روی ساحل، مرزها مشتمل اند بر مرز متحرک و مرز غیربازتابی، که در این قسمت به چگونگی پیاده سازی آنها در مدل عددی ارائه شده پرداخته می شود.

۱.۷. مرز متحرک

در تحلیل عددی فرایند بالاروی امواج بلند با استفاده از معادلات غیرخطی آب کم عمق، بیشتر مشکلات ناشی از تعیین موقعیت خط ساحل است؛ زیرا خط ساحل در خلال بالاروی و پایین روی موج بر روی ساحل جابه جا می شود. به بیان دیگر مسئله ی بالاروی موج بر روی ساحل در قلمرو مسائل با مرز متحرک می گنجد. بنابراین لازم است که با اتخاذ رهیافتی خاص در مدل عددی، نسبت به تعریف خط ساحل اقدام شود. با پیروی از روشی مشابه روش های ارائه شده در سال های ۲۰۰۵ و ۲۰۰۶، در الگوی عددی یک عمق کمیته ی آب تعریف می شود. [۱۹، ۲۰] در طول محاسبات چنانچه عمق آب در هر سلول محاسباتی کم تر از مقدار کمیته شود آن سلول خشک قلمداد می شود، و به اندازه حرکت جریان در آن سلول مقدار صفر نسبت داده می شود. در غیر این صورت سلول به عنوان سلول تر تلقی می شود. در هر گام زمانی مرزی که سلول های تر را از سلول های خشک جدا می کند به عنوان خط ساحل تعریف می شود. همچنین لازم به ذکر است که این مقدار کمیته ی عمق به عنوان عمق اولیه به تمامی گره های واقع بر ساحل خشک (گره هایی که در تراز بالاتر از سطح آزاد اولیه ی آب قرار دارند) اختصاص می یابد.

۲.۷. مرز غیر بازتابی

در مرز سمت دریا ($x = L$)، که نوعی مرز غیر بازتابی به شمار می آید، شرط مرزی انتقال دهنده اعمال می شود. این شرط مرزی که خروج بدون انعکاس



شکل ۴. گره های موهومی برای مدل سازی شرط مرزی غیر بازتابی.

(FORCE) ۱۴ که برای اولین بار در سال ۱۹۹۶ ارائه شد، استفاده می شود. [۲۱] این الگوی شار، علاوه بر سادگی پیاده سازی در برنامه ی رایانه یی، در کاربرد نیز بسیار قوی است. در ترکیب با روش الگوی یکنوای بالادست برای قوانین پایستار (MUSCL)، تخمین شار عددی در مرز سلول (FORCE) دارای دقتی از مرتبه ی دو در زمان و مکان است. بر اساس این الگو شار عددی در مرز $x_{i+(1/2)}$ به صورت رابطه ی ۱۱ نوشته می شود:

$$F_{i+(1/2)}^{FORCE} = \frac{1}{4} (F_{i+(1/2)}^{LF} + F_{i+(1/2)}^{LW}) \quad (11)$$

که در آن $F_{i+(1/2)}^{LF}$ نشان دهنده ی شار عددی لکس-فردریش است و عبارت است از:

$$F_{i+(1/2)}^{LF} = \frac{1}{4} [F(U_{i+(1/2)}^-) + F(U_{i+(1/2)}^+)] - \frac{1}{4} \frac{\Delta x}{\Delta t} [U_{i+(1/2)}^+ - U_{i+(1/2)}^-] \quad (12)$$

در این معادله $U_{i+(1/2)}^-$ و $U_{i+(1/2)}^+$ به ترتیب معرف بردار محاسبه شده ی متغیرهای پایستار در وجه راست و چپ مرز $x_{i+(1/2)}$ هستند. همچنین در رابطه ی ۱۱، $F_{i+(1/2)}^{LW}$ شار عددی ریچمایر یا شار عددی دو مرحله یی لکس - وندروف است:

$$F_{i+(1/2)}^{LW} = F(U_{i+(1/2)}^{LW}) \quad (13)$$

که در آن، حالت میانی متغیر پایستار $U_{i+(1/2)}^{LW}$ ، با رابطه ی ۱۴ داده می شود.

$$U_{i+(1/2)}^{LW} = \frac{1}{4} [U_{i+(1/2)}^- + U_{i+(1/2)}^+] - \frac{1}{4} \frac{\Delta t}{\Delta x} [F(U_{i+(1/2)}^+) - F(U_{i+(1/2)}^-)] \quad (14)$$

همان طور که تورو در سال ۲۰۰۶ اثبات کرد، الگوی عددی مرکزی مرتبه اول (FORCE) یک شار یکنوا بوده و در میان مجموعه یی از شارها که از ترکیب خطی شار لکس - فردریش و شار دو مرحله یی لکس - وندروف به وجود می آیند، عضوی بهینه محسوب می شود. [۱۷] لازم به ذکر است که ترکیب الگوی عددی مرکزی مرتبه اول (FORCE) و روش گرادیان سطح در متون پیشین گزارش نشده است.

۶. انتگرال گیری زمانی و ملاحظات پایداری

تا اینجا فقط گسسته سازی مکانی معادلات حاکم مورد توجه قرار گرفت. با استفاده از شرایط مرزی و اولیه ی مناسب، معادله ی ۳ به کمک روش گسسته سازی زمانی رانگ - کوتا حل می شود. این روش پایداری بسیار زیاد محاسبات را به همراه دارد و برای حل سیستم معادلات دیفرانسیل هذلولوی - نظیر معادلات غیر خطی آب کم عمق - بسیار مناسب است. [۱۸] روش بهینه ی مرتبه ی سه رانگ - کوتا طبق معادلات ۱۵ عبارت است از:

$$\begin{aligned} U_i^{(1)} &= U_i^n + \Delta t L(U_i^n), \\ U_i^{(2)} &= \frac{3}{4} U_i^n + \frac{1}{4} U_i^{(1)} + \frac{1}{4} \Delta t L(U_i^{(1)}), \\ U_i^{n+1} &= \frac{1}{4} U_i^n + \frac{3}{4} U_i^{(2)} + \frac{1}{4} \Delta t L(U_i^{(2)}). \end{aligned} \quad (15)$$

که در آن $(W = U_i^n, U_i^{(1)}, U_i^{(2)}) L(W)$ طرف راست رابطه ی ۳ است که در W محاسبه شده است. $U_i^{(1)}$ و $U_i^{(2)}$ نیز متغیرهای میانی پایستار هستند. از

آزاد امواج غیرشکننده ارائه داد. مدل این محقق معمولاً برای صحت‌سنجی مدل‌های عددی مورد استفاده قرار می‌گیرد. همچنین این محقق براساس آزمایش‌های خود که در مقایسه با کارهای پیشین، شیوه‌هایی دقیق‌تر در آنها مورد استفاده قرار گرفته بود، روابطی برای بیشینه بالاروی امواج منفرد غیرشکننده و شکننده ارائه داد.^[۲] از آنجا که محققین بسیاری برای تعیین میزان دقت مدل‌های تحلیلی و عددی خود از نتایج آزمایشگاهی مذکور استفاده کرده‌اند، نتایج مدل ارائه‌شده در این تحقیق نیز با این داده‌ها مقایسه می‌شود. در شکل ۵ نتایج شبیه‌سازی عددی سطح آزاد با داده‌های آزمایشگاهی و جواب تحلیلی سینولایس مقایسه شده است. برای هماهنگی با داده‌های آزمایشگاهی ارتفاع بدون بعد موج $H/h_0 = 0.185$ ، و شیب بستر $1:19.85$ است. تحت چنین شرایطی این موج غیرشکننده محسوب می‌شوند. به روشنی تطابق معقولانه میان داده‌های عددی تحلیلی و آزمایشگاهی وجود دارد. اگرچه در مقایسه با جواب تحلیلی، نتایج عددی از تطابق نسبتاً بهتری با داده‌های آزمایشگاهی برخوردارند. در شکل ۶، تغییرات زمانی سطح آزاد ناشی از موج یادشده در دو نقطه از سطح آزاد به تصویر کشیده شده است. شکل ۶ الف مربوط به نقطه‌ی واقع در $x/h_0 = 0.25$ است، و شکل ۶ ب نشان‌دهنده تغییرات زمانی جابه‌جایی سطح آزاد در نزدیکی نقطه‌ی میانی سطح شیب‌دار ($x/h_0 = 0.95$) است که در آن دو قله‌ی مجزا مشاهده می‌شود. قله‌ی اول ناشی از موج پیش‌رونده و قله‌ی دوم ناشی از موج بازتاب‌یافته از سطح شیب‌دار است. این در حالی است که در شکل ۶ الف این دو قله در یکدیگر ادغام شده و عملاً یک نقطه‌ی اوج مشاهده می‌شود. تطابق معقولانه‌ی نتایج عددی و تحلیلی حاکی از توانایی مدل در شبیه‌سازی فرایندهای بالا و پایین روی موج منفرد بر ساحل شیب‌دار است.

در شکل ۷ نیم‌رخ‌های سطح آزاد برای موجی با $H/h_0 = 0.4$ که از شیب $1:19.85$ بالا می‌رود با داده‌های آزمایشگاهی سینولایس مقایسه شده است. اگرچه بر مبنای معیار شکست موج باید شکست این موج اتفاق بیفتد، در آزمایشگاه شکست موج عملاً رخ نمی‌دهد.^[۲] نتایج عددی نیز این حقیقت را تأیید می‌کند. در شکل ۸ نتایج مدل عددی با داده‌های آزمایشگاهی سینولایس برای موج منفردی با ارتفاع $H/h_0 = 0.3$ که پس از انتشار بر روی آبی به عمق ثابت h_0 ، از سطحی با شیب $1:19.85$ بالا می‌رود، مقایسه شده است. هنگامی که موج به سمت بالای سطح شیب‌دار حرکت می‌کند، جبهه‌ی موج نسبت به پشت آن شیب بیشتری می‌یابد و شکل موج حالت متقارن خود را از دست می‌دهد تا جایی که در موقعیتی خاص، که به نقطه‌ی شکست موج معروف است، جبهه‌ی موج کاملاً به حالت عمودی درمی‌آید. نتایج عددی در زمان‌های $t^* = 15$ و $t^* = 20$ چنین روندی را به‌خوبی نشان می‌دهند و همان‌گونه که از خصلت تسخیر شوک الگوی عددی انتظار می‌رفت، هیچ‌گونه نوسان عددی در نزدیکی جبهه‌ی قائم موج رخ نداده است. با این وجود به دلیل خاصیت غیربخشی^{۱۶} معادلات غیرخطی آب کم‌عمق، ارتفاع موج در لحظه‌ی شکست کم‌تر از مقدار آزمایشگاهی تخمین زده شده، و سرعت موج نیز قدری بیشتر از مقدار واقعی به دست آمده است. موج در ادامه‌ی انتشار به بالای سطح، در نزدیکی موقعیت اولیه‌ی خط ساحل فرو می‌ریزد و ارتفاع آن به شدت کاهش می‌یابد ($t^* = 25$). حاصل این فرایند، تشکیل زبانه‌ی سیال است که از سطح شیب‌دار بالا می‌رود. پس از این که زبانه به بالاترین نقطه‌ی صعود خود رسید، فرایند پایین‌روی موج آغاز می‌شود. در ابتدای این فرایند، زبانه‌ی موج عقب‌نشینی می‌کند و این در حالی است که دنباله‌ی موج هنوز به انتشار خود به سمت سطح شیب‌دار ادامه می‌دهد. جریان در حال عقب‌نشینی با دنباله‌ی موج برخورد می‌کند و یک پرش هیدرولیکی در نزدیکی موقعیت اولیه‌ی خط ساحل به وجود می‌آید.

موج از دامنه‌ی محاسباتی را امکان‌پذیر می‌سازد، با افزودن گره‌های موهومی^{۱۵} به دامنه‌ی محاسباتی اعمال می‌شود (شکل ۴). چنانچه اندیس آخرین گره محاسباتی با M نشان داده شود، اندیس گره‌های موهومی $M+1$ و $M+2$ خواهد بود. در این صورت می‌توان نوشت:

$$\begin{aligned} (hu)_{M+1} &= (hu)_M, & h_{M+1} &= h_M \\ (hu)_{M+2} &= (hu)_M, & h_{M+2} &= h_M \end{aligned} \quad (17)$$

رابطه‌ی ۱۷ بیان می‌کند که عمق و اندازهی حرکت جریان نباید در راستای عمود بر مرز غیر بازتابی تغییر کنند.

۸. شرایط اولیه‌ی شبیه‌سازی موج منفرد

موج منفرد فقط دارای یک قله است و شکم ندارد. مدل‌سازی انتشار این موج معمولاً با حل معادلات غیرخطی آب کم‌عمق و با اعمال نیم‌رخ موج در لحظه‌ی $t = 0$ به صورت مقادیر اولیه‌ی نیم‌رخ سطح آزاد $\eta(x, 0)$ ، در مدل عددی صورت می‌پذیرد. براساس نظریه‌ی مرتبه‌ی اول امواج منفرد، نیم‌رخ یک موج منفرد که در جهت مثبت محور x انتشار می‌یابد، مطابق رابطه‌ی ۱۸ تعریف می‌شود:^[۲]

$$\eta(x, t) = H \operatorname{sech}^2 \left[\sqrt{\frac{3H}{4h_0^3}} (x - X_1 - Ct) \right] \quad (18)$$

که در آن H ارتفاع اولیه‌ی موج منفرد، h_0 عمق ثابت اولیه‌ی آب، X_1 موقعیت اولیه‌ی قله‌ی موج و $C = \sqrt{g(H + h_0)}$ سرعت انتشار موج است. مطابق شکل ۱، فاصله‌ی میان موقعیت اولیه‌ی قله‌ی موج منفرد و نقطه‌ی شروع ساحل شیب‌دار (X_0) چنین در نظر گرفته می‌شود:^[۲]

$$X_1 - X_0 = \sqrt{\frac{4h_0^3}{3H}} \operatorname{arccosh} \left(\sqrt{\frac{1}{0.705}} \right) \quad (19)$$

فاصله‌ی یادشده در واقع نصف طول مشخصه‌ی موج منفرد است. مقادیر اولیه‌ی سرعت جریان از رابطه‌ی ۲۰ به دست می‌آید.

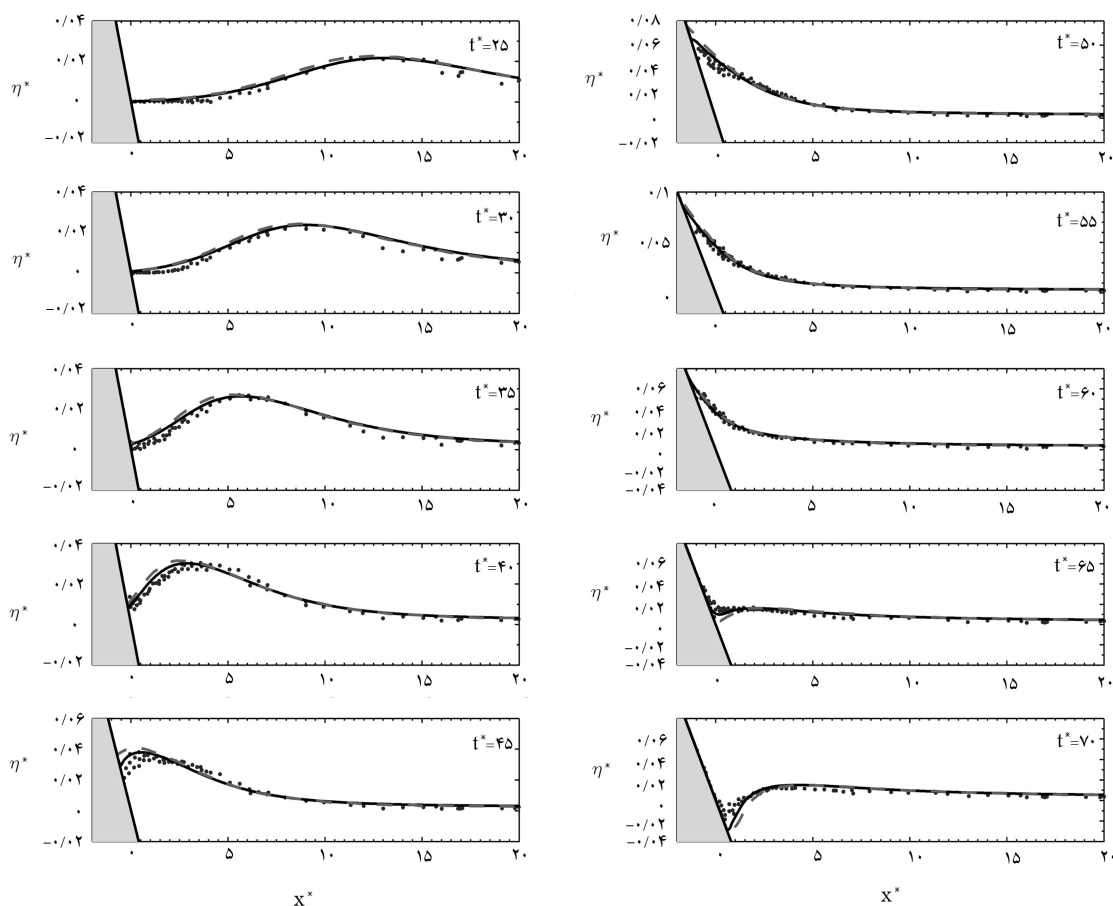
$$u(x, 0) = -\eta(x, 0) \sqrt{\frac{g}{h_0}} \quad (20)$$

علامت منفی در رابطه‌ی ۲۰ نشان می‌دهد که موج به سمت مکان اولیه‌ی خط ساحل (مبدأ مختصات در شکل ۱) حرکت می‌کند. در مواردی که از این پس مورد بررسی قرار خواهند گرفت، برای بیان نتایج از متغیرهای بدون بعد (رابطه‌ی ۲۱) استفاده می‌شود:

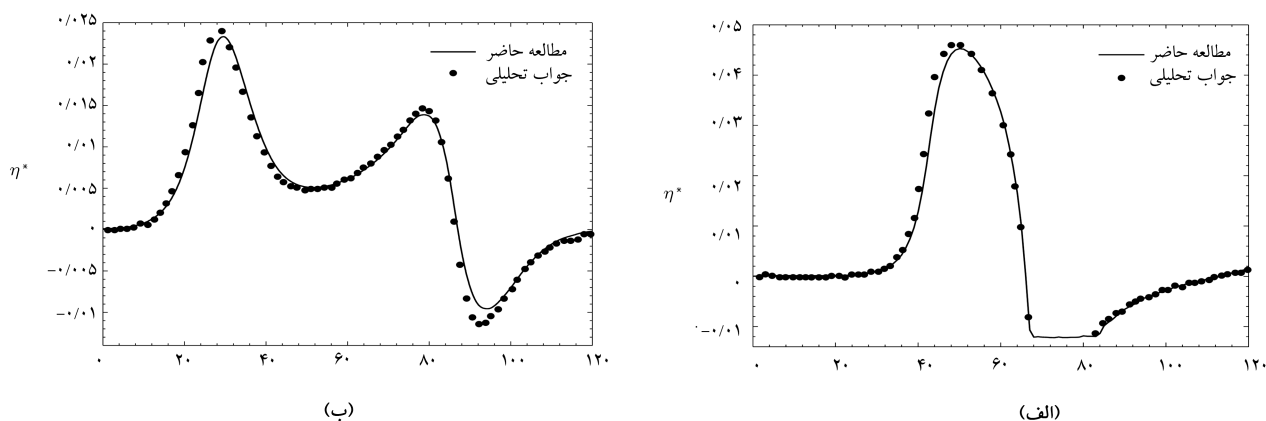
$$\eta^* = \frac{\eta}{h_0}, \quad x^* = \frac{x}{h_0}, \quad t^* = t \sqrt{\frac{g}{h_0}}. \quad (21)$$

۹. نتایج و بحث

سینولایس (۱۹۸۶) در تحقیقات گسترده‌ی خود به ارائه‌ی یک مدل غیرخطی و تحلیلی برای بالاروی امواج غیر شکننده پرداخت. این محقق با استفاده از یک نگاشت معادلات غیرخطی آب کم‌عمق را حل کرد و جوابی تحلیلی برای نیم‌رخ سطح



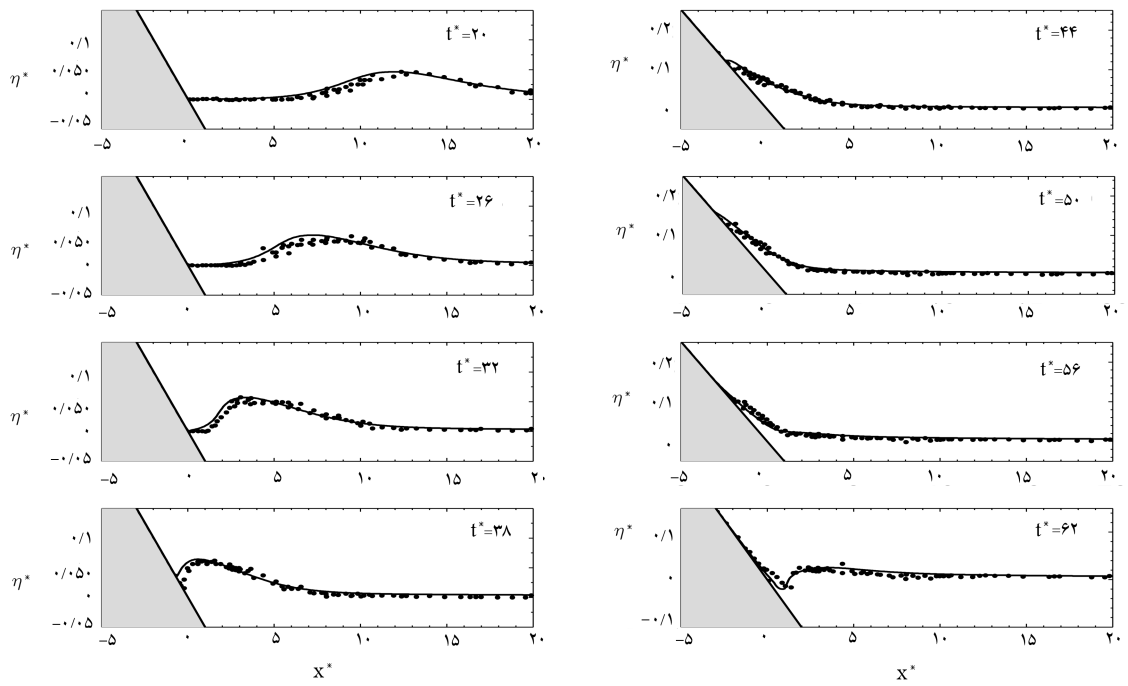
شکل ۵. نیم رخ سطح آزاد $(\eta^* = \eta/h_0)$ به صورت تابعی از $(x^* = x/h_0)$ برای بلاری موج منفردی با ارتفاع اولیه 185° و $H/h_0 = 19/85$ بر روی شیب $1:19/85$ در زمان های مختلف بدون بعد $(t^* = t\sqrt{g/h_0})$. خطوط ممتد: نتایج مطالعه ی حاضر، نقاط و خط چین ها به ترتیب داده های آزمایشگاهی و حل تحلیلی سینولاکیس (۱۹۸۶) را نشان می دهند.



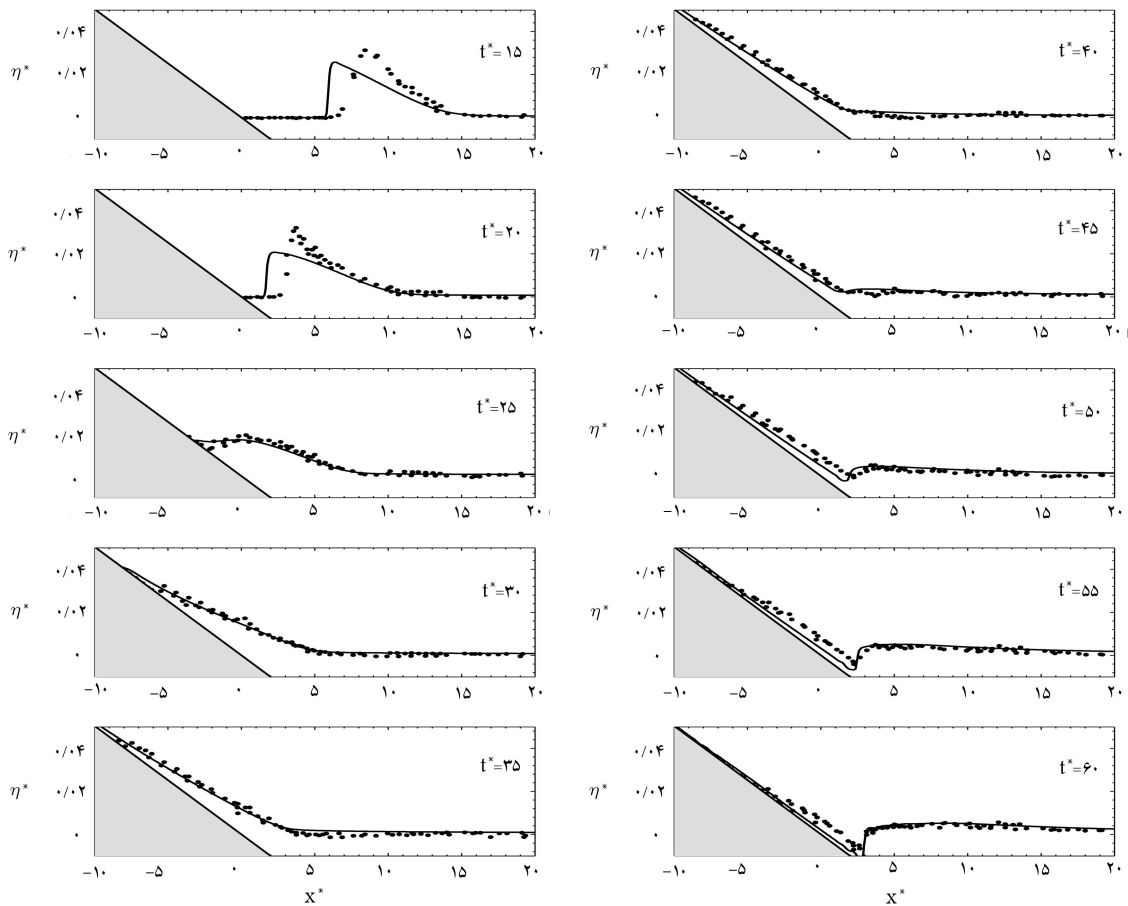
شکل ۶. جابه جایی سطح آزاد $(\eta^* = \eta/h_0)$ به عنوان تابعی از زمان بدون بعد $(t^* = t\sqrt{g/h_0})$ در موقعیت (الف): $x^* = 25^\circ$ و (ب): $x^* = 99.5^\circ$ و مقایسه ی آن با حل تحلیلی سینولاکیس (۱۹۸۶) (ارتفاع اولیه موج: 185° ، $H/h_0 = 19/85$ ، شیب بستر: $1:19/85$).

عددی پیشنهادی در مقایسه با روش های عددی زلت (۱۹۹۱) و تیتوف و سینولاکیس (۱۹۹۵) از تطابق بهتری با داده های آزمایشگاهی سینولاکیس (۱۹۸۶) برخوردار است. این امر ناشی از توانایی مدل در حفظ خاصیت بقای جرم سیال در طول محاسبات است. چنانچه نسبت جرم از دست رفته در پایان محاسبات به جرم اولیه ی موجود در دامنه ی محاسباتی به عنوان خطای بقای جرم MCE تعریف شود،

این موضوع به خوبی در بازه ی زمانی $5^\circ < t^* < 6^\circ$ قابل مشاهده است. این که زبانه ی در حال عقب نشینی موج به صورت فیلم نازکی از سیال شبیه سازی شده است، ناشی از اعمال فرض سیال غیرلزج در به دست آوردن معادلات غیرخطی آب کم عمق است. در شکل ۹، نیم رخ محاسبه شده ی سطح آزاد در لحظه ی فروری موج (شکل ۸، $t^* = 25$) با سایر روش های موجود مقایسه شده است. به روشنی الگوی



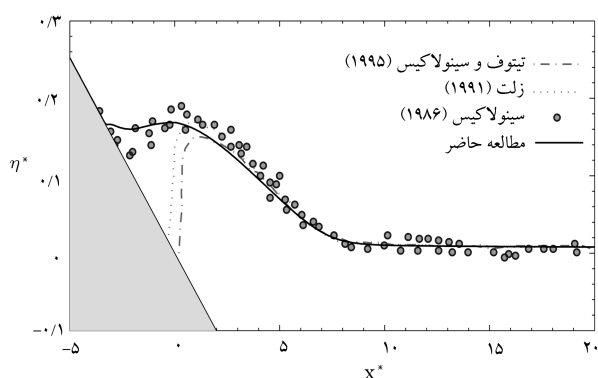
شکل ۷. بالاروی موج منفرد با ارتفاع اولیه $H/h_0 = 0.4$ بر روی شیب ۱:۱۹٫۸۵ در زمان‌های مختلف بدون بعد. خطوط ممتد نتایج مطالعه حاضر و نقاط داده‌های آزمایشگاهی سینولاکیس (۱۹۸۶) را نشان می‌دهند.



شکل ۸. بالاروی موج منفرد با ارتفاع اولیه $H/h_0 = 0.3$ بر روی شیب ۱:۱۹٫۸۵ در زمان‌های مختلف بدون بعد. خطوط ممتد نتایج مطالعه حاضر و نقاط داده‌های آزمایشگاهی سینولاکیس (۱۹۸۶) را نشان می‌دهند.

پرداخته شده که در آن الگوی عددی FORCE که توانایی آن در مدل سازی جریان آب کم عمق در متون علمی پیشین به اثبات رسیده بود، برای اولین بار به منظور شبیه سازی انتشار موج بر روی بستر خشک با موفقیت مورد استفاده قرار گرفت. همچنین مقایسه هایی میان نتایج حاصل از مدل سازی عددی با داده های آزمایشگاهی و حل تحلیلی انجام پذیرفت. به هر حال در محدوده ی شبیه سازی های صورت گرفته در این مطالعه نتایج حاصله عبارت است از:

- معادلات غیرخطی آب کم عمق علی رغم فرض سرعت متوسط گیری شده در عمق، ابزاری توانمند برای بررسی پدیده ی انتشار و بالاروی امواج بلند هستند.
- در مقایسه با حل تحلیلی موجود، نتایج مدل ارائه شده به خاطر استهلاک عددی تطابق بهتری با داده های آزمایشگاهی نشان می دهد.
- با افزایش شیب سطح (زاویه ی β در شکل ۱) بیشینه بالاروی موج شکننده ی منفرد افزایش می یابد؛ این در حالی است که بالاروی موج غیرشکننده با ملایم تر شدن شیب بیشتر می شود.
- افزایش فاصله ی اولیه ی قله ی موج نسبت به خط ساحلی (X_1 ، شکل ۱) سبب کاهش بیشینه بالاروی موج بر روی ساحل می شود.
- مدل ارائه شده به دلیل خطای ناچیز در حفظ خاصیت بقای جرم معادلات حاکم، نتایج بهتری نسبت به برخی از مدل های پیشین در لحظه ی فروریزی یک موج شکننده به دست می دهد.
- فقدان خاصیت غیربخشی در معادلات غیرخطی آب کم عمق، موجب ناهماهنگی میان نتایج عددی و داده های آزمایشگاهی در حوالی نقطه ی شکست موج شد.
- مطالعه ی اثر ناشی از اصطکاک بستر بر روی بیشینه بالاروی امواج و اضافه کردن عبارت پخش در معادلات حاکم می تواند به عنوان موضوع تحقیقی دیگر مطرح شود.



شکل ۹. مقایسه ی نتایج عددی مدل ارائه شده و سایر روش های موجود برای بالاروی موج منفردی با $H/h_0 = 0.3$ از شیب $1:19/85$ در لحظه $t^* = 25$.

شبیه سازی بالاروی موج شکننده ی مذکور با خطایی به اندازه ی $MCE = 0.05\%$ همراه است و این در حالی است که تیتوف و سینولاکیس (۱۹۹۵) در شبیه سازی همین موج تحت شرایطی مشابه خطایی به اندازه ی $MCE = 0.07\%$ گزارش کرده اند. لازم به ذکر است که جرم سیال در هر گام زمانی از انتگرال گیری سطح محصور میان نیم رخ موج و بستر جریان به دست آمده و در محاسبه ی آن شار جرم عبوری از مرز سمت دریا نیز لحاظ شده است. وجود این خطای ناچیز در شبیه سازی شوک حاصل از شکست موج، بر توانایی مدل در حفظ خاصیت پایستاری معادلات حاکم دلالت می کند.

۱۰. نتیجه گیری

در این مطالعه به تشریح یک مدل حجم محدود برای معادلات غیرخطی آب کم عمق

پانویس

1. exact Riemann solver
2. weighted average flux
3. directional splitting
4. shock-capturing
5. bore
6. well-balanced
7. Roe method
8. surface gradient method
9. conservative form
10. monotonic upstream scheme for conservation laws
11. data reconstruction
12. nonlinear slope limiter
13. depth gradient method
14. first order centered scheme
15. ghost grid points
16. non dispersive
17. mass conservation error

منابع

1. Carrier, G.F. and Greenspan, H.P. "Water waves of finite amplitude on a sloping beach", *J. Fluid Mechanics*, **4**, pp. 97-109 (1958).
2. Tuck, E.O. and Hwang, L.S. "Long wave generation on a sloping beach", *J. Fluid Mechanics*, **51**, pp. 449-461 (1972).
3. Synolakis, C.E., *The Run-up of Long Waves*, PhD Thesis, California Institute of Technology, Pasadena, CA, (1986).
4. Hibbert, S. and Peregrine, D.H. "Surf and run-up on a beach: A uniform bore", *J. Fluid Mechanics*, **95**, pp. 323-345 (1979).
5. Titov, V.V. and Synolakis, C.E. "Modeling of breaking and non-breaking long-wave evolution and run-up us-

- ing VTCS-2", *J. Waterway, Port, Coastal, Ocean Eng. ASCE*, **121**, pp.308-316 (1995).
6. Zelt, J.A. "The run-up of non-breaking and breaking solitary waves", *Coastal Engineering*, **15**, pp. 205-246 (1991).
 7. Wei, Y.; Mao, X.Z. and Cheung, K.F. "Well-balanced finite-volume model for long-wave run-up", *J. Waterway, Port, Coastal, Ocean Eng. ASCE*, **132**, pp. 114-124 (2006).
 8. Brocchini, M.; Bernetti, R.; Mancinelli, A. and Albertini, G. "An efficient solver for nearshore flows based on the WAF method", *Coastal Engineering*, **43**, pp. 105-129 (2001).
 9. Kim, D.H.; Cho, Y.S. and Yi, Y.K. "Propagation and run-up of nearshore tsunamis with HLLC approximate Riemann solver", *Ocean Engineering*, **34**, pp. 1164-1173 (2007).
 10. Toro, E.F., *Shock-Capturing Methods for Free-Surface Shallow Flows*, Wiley, West Sussex, England (2001).
 11. Brocchini, M. and Dodd, N. "Nonlinear shallow water equation modeling for coastal engineering", *J. Waterway, Port, Coastal, Ocean Eng. ASCE*, **134**(2), pp. 104-120 (2008).
 12. Hu, K.; Mingham, C.G. and Causon, D.M. "Numerical simulation of wave overtopping of coastal structures using the non-linear shallow water equations", *Coastal Engineering*, **41**, pp. 433-465 (2000).
 13. Bermudez, A. and Vazquez, M.E. "Upwind methods for hyperbolic conservation laws with source terms", *J. Comput. Fluids*, **23**(8), pp. 1049-1071 (1994).
 14. Vazquez-Cendon, M.E. "Improved treatment of source terms in upwind schemes for shallow water equations in channels with irregular geometry," *J. Comput. Physics*, **148**, pp. 497-526 (1999).
 15. Zhou, J.G.; Causon, D.M.; Mingham, C.G. and Ingram, D.M. "The surface gradient method for the treatment of source terms in the shallow water equations", *J. Comput. Physics*, **168**, pp. 1-25 (2001).
 16. Toro, E.F., *On Glimm-Related Schemes for Conservation Laws*, Technical Report MMU-9602, Department of Mathematics and Physics, Manchester Metropolitan University, UK (1996).
 17. Toro, E.F. "MUSTA: A multi-stage numerical flux", *J. Applied Numerical Mathematics*, **56**, pp. 1464-1479 (2006).
 18. Shu, C.W. and Osher, S. "Efficient implementation of essentially non-oscillatory shock-capturing schemes", *J. Comput. Physics*, **77**, pp. 439-471 (1988).
 19. Que, Y.T. and Xu, K. "The numerical study of roll-waves in inclined open channels and solitary wave run-up", *International Journal for Numerical Methods in Fluids*, **50**, pp. 1003-1027 (2006).

